

## ارزیابی رفتار واکنش‌پذیری نانوپودر آلومینیم تهیه شده به روش تبخیر - چگالش تحت اتمسفر هوای\*

سید حجت‌ا... حسینی<sup>(۱)</sup>سعید شیبانی<sup>(۲)</sup>ضیاء والقی<sup>(۳)</sup>

### چکیده

در این مقاله واکنش‌پذیری نانوپودر آلومینیم تحت اتمسفر هوای بررسی شده است. نانوپودر آلومینیم به روش تبخیر - چگالش تولید گردید. رفتار حرارتی این نانوپودر با اندازه متوسط ذرات ۴۵ نانومتر تحت اکسیداسیون غیر همدما به روش آنالیز حرارتی افتراقی و وزن‌سنجی حرارتی مطالعه شد. همچنین نتایج مربوط به نانوپودر با پودر میکرونی مورد مقایسه قرار گرفت. از پارامترهایی مانند دمای آغاز واکنش اکسیداسیون و دمای سرعت حد اکثر اکسیداسیون به منظور ارزیابی واکنش‌پذیری نانوپودر بهره‌گیری شد که مقادیر به دست آمده برای نانوپودر موردن بررسی به ترتیب  $490^{\circ}\text{C}$  و  $528^{\circ}\text{C}$  بود. ملاحظه شد که واکنش‌پذیری بالای نانوپودر افزون بر مساحت سطح بسیار بالای آن به انحراف شکل ذرات از حالت کروی و همچنین گستره وسیع اندازه ذرات مربوط است.

**واژه‌های کلیدی** نانوپودر آلومینیم، تبخیر - چگالش، واکنش‌پذیری.

## Assessment of Aluminum Nanopowder Reactivity Behavior Produced by Evaporation - Condensation Method under Air Atmosphere

S. H. Hosseini

S. Sheibani

Z. Valefi

### Abstract

In this paper aluminum nanopowder reactivity was investigated under air atmosphere. Aluminum nanopowder was produced through evaporation-condensation method. The thermal behavior was studied via non-isothermal oxidation of nanopowders with average particle size of 45 nm by differential thermal analysis and thermogravimetry analysis. Comparisons were also made to the micrometer sized particles. Several parameters have been used to characterize the reactivity of aluminum nanoparticles, including the onset and temperature of maximum oxidation rate, which were  $490^{\circ}\text{C}$  and  $528^{\circ}\text{C}$ , respectively. It was found that beside the superior surface area, the high reactivity of nanopowders may be attributed to the deviation of nanoparticles from spherical shape and broad particle size distribution.

**Key Words** Aluminum Nanopowder, Evaporation-Condensation, Reactivity.

\* نسخه نخست مقاله در تاریخ ۸۹/۱/۲۳ و نسخه پایانی آن در تاریخ ۸۹/۹/۳۰ به دفتر نشریه رسیده است.

(۱) مرکز تحقیقات مواد فلزی، دانشگاه صنعتی مالک اشتر

(۲) عهده‌دار مکاتبات: دانشجوی دکتری، دانشکده مهندسی متالورژی و مواد، دانشگاه تهران

(۳) مرکز تحقیقات مواد فلزی، دانشگاه صنعتی مالک اشتر

به عنوان مثال در ارتباط با کاربردهای پاشش حرارتی و متالورژی پودر حذف ذرات فوق العاده ریز مزیتی در خواص فشرده سازی محصول و حذف خطرات تنفسی مرتبط با آن محسوب می‌گردد [3].

به طور کلی افزایش نسبت سطح به حجم عامل اصلی فعالیت بالای نانوذرات است و از این رو، با توجه به واکنش پذیری شیمیایی بالای نانوپودر آلومینیم، زمینه‌های احتراقی از جمله کاربردهای آن محسوب می‌شود [8]. به طوری که با توجه به بررسی‌های گذشته ملاحظه شده است که افزودن نانوپودر آلومینیم به سوخت‌های جامد سبب افزایش سرعت احتراق حتی در برخی موارد بین ۵-۱۰ برابر شده است. این کاربرد نانوپودر آلومینیم به خاطر دمای آغاز اکسیداسیون پایین و سرعت بالای اکسیداسیون است. از طرف دیگر این نسبت سطح به حجم بالا سبب شده تا حمل و نقل آن بسیار مشکل باشد [9]. بدین منظور سطح ذرات در اتمسفر حاوی اکسیژن با فشار کم اکسید شده تا لایه نازکی از اکسید روی سطح تشکیل و از اکسیداسیون بیشتر ممانع شد.

در پژوهش حاضر نانوپودر آلومینیم به روش تبخیر- چگالش تولید شده است. همان گونه که قبلاً هم بیان شد، ارزیابی خواص و مشخصات محصول بایستی در راستای کاربرد نهایی آن باشد. نظر به امکان کاربرد نانوپودر آلومینیم تهیه شده در زمینه‌های احتراقی، ارزیابی میزان فعالیت و واکنش پذیری آن حائز اهمیت است. همچنین با توجه به این که مکانیزم دقیق افزایش سرعت احتراق نانوپودر آلومینیم به طور کامل مشخص نیست و معمولاً واکنش پذیری نانوپودرهای تهیه شده از روش‌های مختلف متفاوت است، لذا در این نوشتار به مشخصه‌یابی نانوپودر آلومینیم تهیه شده از جنبه میزان واکنش پذیری آن با اکسیژن هوا و مقایسه با پودر میکرونی پرداخته شده است.

### فرآیند تولید نانوپودر آلومینیم

در این بررسی از روش تبخیر- چگالش به منظور تهیه نانوپودر آلومینیم استفاده شده است. به طور کلی هدف

### مقدمه

امروزه تولید و مشخصه‌یابی نانوپودر مواد مختلف در علم و فناوری نوین بسیار مورد توجه قرار گرفته است. اهمیت این گونه مواد از یک طرف به خاطر نیاز عملی به مواد جدید است که برخی موقعع تنها از اجزای پودری قابل تهیه هستند و از طرف دیگر تمایل به بررسی خواص ذرات بسیار زیین، به ویژه ذرات با ابعاد زیر ۱۰۰ نانومتر که در چهارچوب دانش نانوفناوری بسیار حائز اهمیت‌اند، می‌باشد. در این راستا توجهی خاص به روش‌های کارآمد و مؤثر برای تهیه نانوپودرها شده است. به طور کلی روش‌های تهیه نانوذرات را بسته به فاز محیط حین تشکیل ذره، می‌توان به دو دسته فاز مایع و فاز گازی تقسیم نمود. در روش فاز مایع، امکان آسودگی ذرات وجود دارد، چرا که نانو ذرات از محلول تهیه می‌شوند. بنابراین خلوص محصول به خلوص مواد اولیه وابسته است. در روش فاز گازی، نانو ذرات طی فرآیندهای فیزیکی یا شیمیایی تهیه می‌شوند. در میان نانوپودرها تولید و بررسی خواص نانوپودر آلومینیم مورد توجه بسیاری از محققان قرار گرفته است. روش‌های فاز گازی گوناگونی برای تهیه نانوپودر آلومینیم از مذاب وجود داشته که از این میان روش اتمیزه کردن (Atomization) مذاب و سپس چگالش بخار آلومینیم در اتمسفر گازی به طور عمده در دنیا استفاده می‌شود. این روش به عنوان روش تبخیر- چگالش (Evaporation-Condensation) معروف است [1-5]. این راستا بسیاری از پژوهشگران مانند Panda و Pratsin [6] و Aristizabal [7] به مدل سازی و بررسی تجربی فرآیند تولید نانوپودر آلومینیم به روش تبخیر- چگالش در راکتور با جریان آئروسول (Aerosol) پرداخته‌اند.

از جمله مهم‌ترین کاربردهای نانوپودر آلومینیم می‌توان به سوخت جامد، پاشش حرارتی (Thermal Spray) و متالورژی پودر اشاره نمود. حال آنکه با توجه به نوع کاربرد و استفاده مورد انتظار از محصول، طراحی و کنترل شرایط فرآیند بایستی به نحوی صورت گیرد که خواص نهایی مورد نظر حاصل شود.

استفاده شد. به منظور حصول کیفیت بهتر در تصاویر میکروسکوپی سطح نمونه‌ها توسط دستگاه پوشش‌دهی از نوع پراکنشی با لایه نازکی از پلاتین پوشش داده شد. همچنین آنالیز کمی عناصر در پودر میکرونی و نانوپودر توسط دستگاه طیف‌سنجدی تفکیک انرژی پرتو ایکس مدل (7538 model) Oxford انجام شد.

### میکروسکوپ الکترونی عبوری (Transmission Electron Microscopy(TEM)

برای بررسی ریزساختار و مورفوولوژی نانوپودر تولید شده از میکروسکوپ الکترونی عبوری مدل Philips EM208s-100 kV استفاده شد. به منظور آماده‌سازی نمونه ابتدا نانوپودر تولید شده به روش التراسونیک در اتانول به صورت معلق در آمد و پس از قرارگیری ذرات روی فیلم کریم (به ضخامت ۳۰ نانومتر) توسط یک شبکه نیکلی با مش ۲۰۰ درون دستگاه قرار گرفت.

### مساحت سطح ویژه

مساحت سطح ذرات معیاری است که بیانگر سطح خارجی ذرات تشکیل‌دهنده پودر است. ارتباط آن با خواص هندسی و سیتیکی پودر اهمیت بسیاری دارد. در مواردی مانند فعالیت شیمیابی، جذب سطحی، فشردن و تف‌جوشی، سطح ذرات به عنوان عاملی مهم در تعیین و بررسی عملکرد پودر مورد توجه قرار می‌گیرد. به طور کلی روش جذب سطحی روشی متدائل در تعیین مساحت سطح ذرات است. در روش جذب سطحی ابتدا آلودگی‌های موجود در سطح خارجی ذرات از طریق حرارت دادن پودر در خلاء یا گازهای خشی حذف می‌گردد. در ادامه جامد به دست آمده در خلاء سرد می‌شود. سطح تمیز ذرات پودر در مجاورت گازی با فشار جزیی معین قرار گرفته و میزان گاز جذب شده بر حسب فشار جزیی اندازه‌گیری می‌شود. بعد از هر مرحله جذب در فشار ثابت، دفع فاز گازی جذب شده از ذرات در دمای ثابت

در این روش تولید نانوذرات آلومینیم با قطر کمتر از ۱۰۰ نانومتر همراه با پوشش محافظ اکسیدی است. فرآیند تولید با این روش شامل بخش منبع حرارتی و بخش تولید نانوپودر است. از منبع حرارتی به منظور تأمین انرژی مورد نیاز برای تبخیر فلز مورد نظر با نرخ معین استفاده می‌شود. البته ممانعت از آلودگی محصول و واکنش‌های ناخواسته مانند اکسیداسیون در این مرحله بسیار مهم است. بخش دوم فرآیند شامل راکتوری بوده که دمای گاز به سبب هدایت حرارتی ناشی از دیواره‌ها و یا تزریق یک گاز خنک‌کننده کاهش می‌یابد. سپس با کاهش دمای گاز، نسبت اشباع (Saturation Ratio) افزایش یافته و جوانه‌های اولیه طی فرآیند جوانه‌زنی همگن تشکیل می‌شوند. به دنبال جوانه‌زنی ذرات، رشد آنها توسط چگالش و یا تجمع صورت می‌گیرد. جزئیات فرآیند تولید در جای دیگر به تفصیل آورده شده است [10]. بنابراین با توجه به اینکه در این مقاله هدف ارزیابی خواص محصول نانوپودر تهیه شده از نظر میزان واکنش‌پذیری آن است، از ذکر مجدد آنها خودداری می‌شود.

### روش انجام آزمایش‌ها

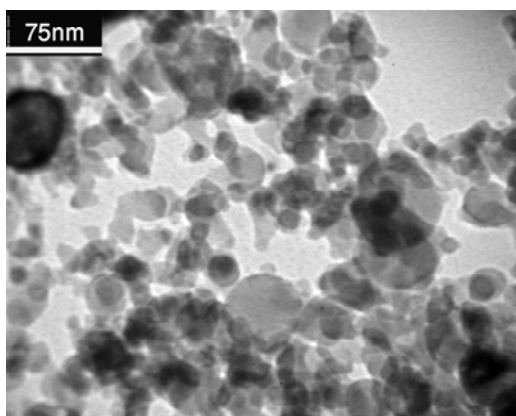
به منظور مشخصه‌یابی نانوپودر تهیه شده از جنبه واکنش‌پذیری، ویژگی‌هایی مانند ترکیب شیمیابی، مورفوولوژی و اندازه ذرات، مساحت سطح و خواص حرارتی مورد ارزیابی قرار گرفتند. افزون بر این برای داشتن درک بهتر از خواص نانوپودر تهیه شده، نمونه پودر آلومینیم میکرونی (ساخت شرکت مرک آلمان) نیز تحت آنالیزهای یکسان قرار گرفت و مقایسه شد.

### میکروسکوپ الکترونی روبشی (Scanning Electron Microscopy(SEM)) و طیف‌سنجدی

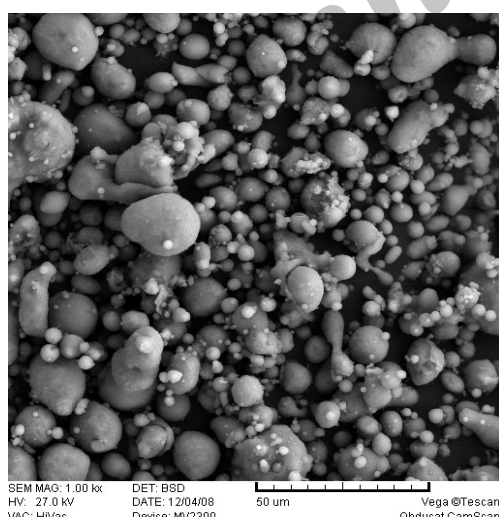
#### تفکیک انرژی (Energy Dispersive (EDS) Spectroscopy(EDS)

برای بررسی ریزساختار و مورفوولوژی (اندازه، توزیع و شکل ذرات) پودر میکرونی، از میکروسکوپ الکترونی روبشی مدل CamScan MV2300 در دانشگاه تهران

این تصاویر و به کمک تحلیل آنها با نرم افزار image analyzer اندازه متوسط ذرات حدود ۴۵ نانومتر است. همچنین شکل (۲) تصویر مربوط به آنالیز SEM نمونه پودر آلومینیم میکروనی را نشان می دهد. با توجه به این شکل ملاحظه می شود ذرات نسبتاً کروی بوده و دارای محدوده اندازه ذرات ۲-۳۰ میکرون هستند. اندازه متوسط ذرات نیز با کمک نرم افزار image analyzer تقریباً برابر با ۱۰ میکرون به دست آمد.



شکل ۱ تصویر TEM نانو پودر آلومینیم



شکل ۲ تصویر SEM پودر میکرونی آلومینیم

اندازه گیری می شود. با محاسبه اختلاف بین مقدار اولیه و نهایی گاز، میزان گاز جذب شده توسط ذرات محاسبه شده و در نهایت حجم گاز جذب شده توسط ذرات پودر بر حسب فشار نسیبی بیان می شود. از آنجا که از معادله Brunaure, Emmett and Teller (BET) برای تعیین میزان جذب استفاده می شود این روش به آنالیز BET معروف است [11].

مساحت سطح ویژه متوسط نانوپودرهای تولید شده توسط جذب گاز نیتروژن در دمای ۷۷ درجه کلوین و با استفاده از معادله BET تعیین شده است. مدل دستگاه مورد استفاده BEL-Belsorp II بوده است. لازم به ذکر است که برای حذف آلودگی های سطحی و گازهای جذب شده سطحی یک مرحله گرمایش در دمای ۱۵۰°C به مدت ۱۵ ساعت روی نمونه ها انجام گرفت.

**Differential Thermal افتراقی (DTA)، وزن سنجی حرارتی (Thermal Gravimetry(TG)) و وزن سنجی Differential Thermal افتراقی (DTG)**

میزان فعالیت و واکنش پذیری پودرهای با روش آنالیز حرارتی تعیین شد. مدل دستگاه مورد استفاده Pyris Diamond بود. آزمایش تحت اتمسفر هوا با نرخ گرمایش  $5^{\circ}\text{C min}^{-1}$  انجام شد. پودر مورد استفاده به وزن ۳ mg درون بوته های آلومینیایی قرار گرفت. محدوده دمایی آزمایش بین دمای محیط تا  $750^{\circ}\text{C}$  بود. به منظور افزایش دقت نتایج، آزمایش ها دو بار تکرار شد.

## نتایج و بحث

**آنالیز EDS و SEM** تصویر TEM نانوذرات آلومینیم در شکل (۱)، ذرات با محدوده اندازه زیر ۱۰۰ نانومتر را نشان می دهد. ملاحظه می شود نانوپودر از توزیع اندازه ذرات نسبتاً وسیع برخوردار است. با توجه به

نشان می شود علت اکسید شدن فقط ۸/۶۸ درصد وزنی آلومینیم در نانوپودر، به مرحله غیرفعال نمودن محصول در فرآیند تولید مربوط است که سطح نانوذرات پس از تولید به طور کاملاً کنترل شده توسط گاز آرگون حاوی مقدار ناچیز و مشخص اکسیژن اکسید شده است.

جدول ۱ درصد عناصر موجود در نانوپودر آلومینیم

به دست آمده از آنالیز EDS

عنصر	درصد اتمی (%)	درصد وزنی (%)
اکسیژن	۱۲/۳۶	۷/۷۲
آلومینیم	۸۷/۶۴	۹۲/۲۸

جدول ۲ درصد عناصر موجود در پودر آلومینیم میکرونی به دست آمده از آنالیز EDS

عنصر	درصد اتمی (%)	درصد وزنی (%)
اکسیژن	۱/۵۱	۰/۹۰
آلومینیم	۹۸/۴۹	۹۹/۱۰

با توجه به مقدار آلومینیم فلزی و اندازه متوسط ذرات، ضخامت لایه اکسیدی ( $t_{oxide}$ ) از موازن جرم و با استفاده از رابطه (۱) قابل محاسبه است [12].

$$t_{oxide} = R_o \left[ 1 - \left( \frac{\rho_{Al_2O_3} c}{\rho_{Al} + c(\rho_{Al_2O_3} - \rho_{Al})} \right)^{1/3} \right] \quad (1)$$

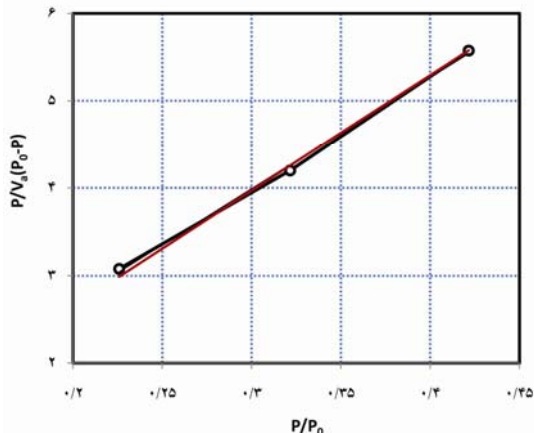
که در آن  $R_o$  شاعع ذره (شامل لایه اکسیدی)،  $c$  کسر آلومینیم موجود،  $\rho_{Al_2O_3}$  چگالی اکسید آلومینیم  $g/cm^3$  و  $\rho_{Al}$  چگالی آلومینیم  $(2/7 g/cm^3)$  است. بنابراین با توجه به قطر متوسط در حدود ۴۵ نانومتر نانوذرات، ضخامت لایه اکسیدی محافظ روی سطح ذرات به طور متوسط حدود ۱/۱۶ نانومتر به دست می آید. لذا فرض تشکیل لایه اکسیدی محافظ با ضخامت ۲-۳ نانومتر روی سطح ذرات منطقی به نظر

از روش EDS نیز به منظور تعیین ترکیب شیمیایی نانوذرات آلومینیم استفاده شده است. شایان ذکر است که این آنالیز روی ذرات آگلومره بزرگ و در قسمت های مختلف نمونه انجام شده است تا دقت آنالیز انجام شده بالا باشد. همچنین به منظور مقایسه، آنالیز EDS روی نمونه پودر آلومینیم میکرونی نیز انجام شده است.

درصد عناصر موجود در نانوپودر آلومینیم تولید شده و پودر میکرونی که از آنالیز EDS تعیین شده است، به ترتیب در جدول های (۱) و (۲) آمده است. ملاحظه می شود که ترکیب محصول شامل آلومینیم و اکسیژن است که بیانگر حضور لایه اکسید آلومینیم روی سطح ذرات نانومتری و میکرونی است. از مقایسه نتایج ملاحظه می شود که درصد وزنی اکسیژن در نانوپودر ۷/۷۲ درصد است، در حالی که در پودر میکرونی اکسیژن به میزان بسیار کمتر ۰/۹ درصد اتمی وجود دارد. بنابراین با فرض اینکه اکسیژن تنها به صورت ترکیب اکسید آلومینیم ( $Al_2O_3$ ) در هر دو نوع پودر وجود داشته باشد، امکان محاسبه درصد وزنی اکسید آلومینیم و آلومینیم فلزی وجود دارد. بر همین اساس درصد وزنی آلومینیم فلزی موجود در نانوپودر ۸۳/۵۹ و درصد وزنی اکسید آلومینیم آن ۱۶/۴۱ درصد (معادل با ۸/۶۸ درصد وزنی آلومینیم موجود به صورت اکسیدی) است. این بدان معنی است که مقدار آلومینیم فعال و قابل احتراق در محصول به دست آمده حدود ۸۴ درصد است. در حالی که درصد وزنی آلومینیم فلزی موجود در پودر میکرونی ۹۷/۹۹ و درصد وزنی اکسید آلومینیم آن ۲/۰۱ درصد (معادل با ۱/۰۱ درصد وزنی آلومینیم موجود به صورت اکسیدی) است. در نتیجه درصد اکسید آلومینیم موجود در نانوپودر تهیه شده حدود ۱۵ درصد بیشتر از مقدار اکسید موجود در پودر میکرونی است. علت این موضوع نیز به اندازه بسیار ریز نانوپودر تهیه شده و یا به عبارت دیگر به نسبت سطح به حجم بسیار بالاتر ذرات نانومتری در مقایسه با ذرات میکرونی بر می گردد. در اینجا خاطر

قطر ذرات کمتر از مقدار واقعی و تخلخل بسته سبب تخمین قطر ذرات بیشتر از مقدار واقعی می‌شود [14]. افزون بر این آگلومراسیون احتمالی ذرات حین گرمایش نانوپودر قبل از آنالیز BET تا دمای  $150^{\circ}\text{C}$  برای خشک کردن ذرات، بسته شدن برخی تخلخل‌های باز را امکان‌پذیر نموده و قطر معادل BET ذرات تا حدودی بیشتر تخمین زده است.

در شکل (۴) نیز منحنی BET مربوط به پودر میکرونی آلومینیم برای مقایسه آورده شده است. بر اساس معادله BET مساحت ویژه سطح پودر حدود  $0.3366 \text{ m}^2\text{g}^{-1}$  به دست آمده است. لذا با توجه به رابطه بالا قطر معادل BET مربوط به پودر میکرونی حدود  $6.602$  میکرون محاسبه شد.

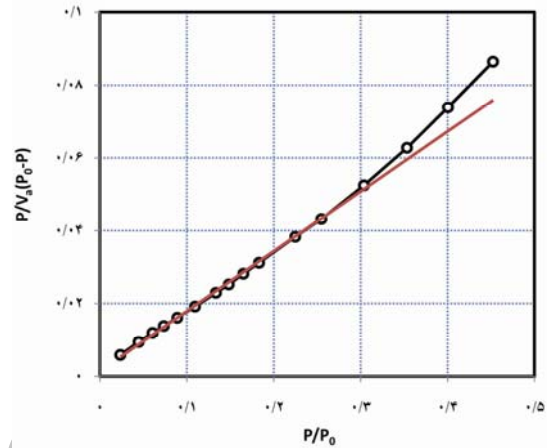


شکل ۴ منحنی BET پودر میکرونی آلومینیم

می‌رسد. این نتایج با نتایج به دست آمده توسط سایر محققان سازگاری مطلوبی دارد [3,4].

### آنالیز BET

ویژگی‌های سطحی نانوپودر تهیه شده به روش BET آنالیز شد که منحنی BET مربوط به آن در شکل (۳) نشان داده شده است.



شکل ۳ منحنی BET نانوپودر آلومینیم تولید شده به روش تبخیر - چگالش

مساحت سطح ویژه پودر حدود  $26.227 \text{ m}^2\text{g}^{-1}$  به دست آمده است. با فرض کروی بودن ذرات، قطر ذره معادل BET از رابطه (۲) قابل محاسبه است [13,14]:

$$d_p = \frac{6}{\rho_{Al} S_a} \quad (2)$$

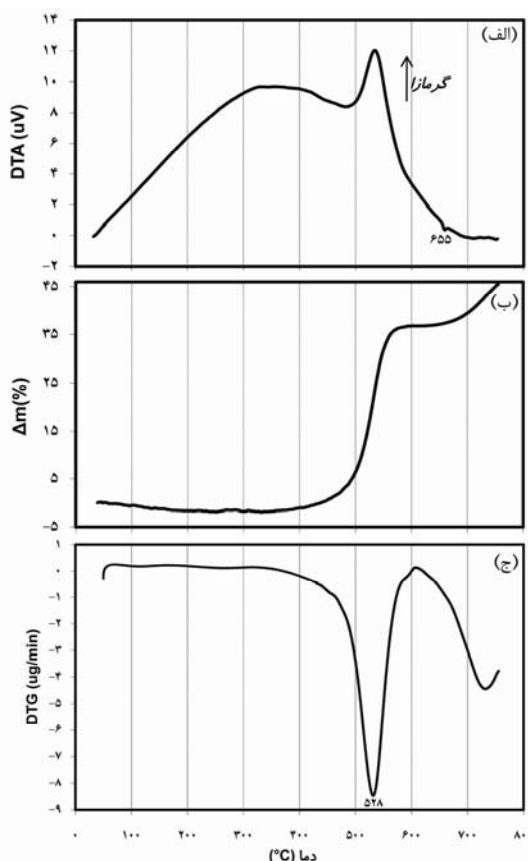
که در آن  $d_p$  قطر معادل BET ذره،  $\rho_{Al}$  چگالی آلومینیم در دمای محیط و  $S_a$  مساحت سطح ویژه است. بنابراین با توجه به رابطه بالا قطر معادل BET حدود  $85$  نانومتر به دست می‌آید. ملاحظه می‌شود که اندازه ذره به دست آمده از آنالیز سطح بزرگتر از مقداری به دست آمده از روش TEM است. علت این مطلب احتمالاً به این موضوع مربوط است که  $S_a$  وابستگی شدیدی به تخلخل سطحی ذرات (صافی سطح) دارد. به نحوی که تخلخل‌های باز سبب محاسبه

### آنالیز حرارتی

به طور کلی علی‌رغم اینکه حین فرآیند تولید، ذخیره‌سازی، حمل و نقل و فرآوری، فعالیت پایین پودر آلومینیم مطلوب است، در فرآیند اکسیداسیون سرعت زیاد و درجه بالای استحالة مطلوب است. به منظور بررسی واکنش‌پذیری پودرها تعیین پارامترهای دمای شروع اکسیداسیون، دمای سرعت اکسیداسیون ماکزیمم و اثر حرارتی به عنوان سطح زیر پیک منحنی DTA پیشنهاد می‌شود. واکنش‌پذیری پودر توسط این

است تا نتایج برای مقایسه دقت بالاتری داشته باشند. شایان ذکر است که نظر به ماهیت واکنش اکسیداسیون آلومنینیم، این فرآیند با افزایش وزن همراه است که در شکل های (۵ و ۶) (ب و ج) ملاحظه می شود. بدین منظور برای تشخیص دما با بیشترین دقت، مقادیر از امتداد مماس های رسم شده بر منحنی ها و محل تقاطع این خطوط مماس به دست آمده است. این روش، روشی استاندارد برای تعیین دمای شروع واکنش از منحنی های TG و DTG است [15]. بنابراین دمای شروع اکسیداسیون نانوپودر و پودر میکرونی آلومنینیم به ترتیب حدود  $490^{\circ}\text{C}$  و  $550^{\circ}\text{C}$  است. لذا دمای آغاز اکسیداسیون نانوپودر تهیه شده در این پژوهش حدود  $60^{\circ}\text{C}$  کمتر از دمای آغاز اکسیداسیون مربوط به پودر میکرونی است. این در حالی است که با توجه به بررسی های انجام شده توسط Sun و همکارانش [12]، محدوده دمای شروع اکسیداسیون برای نانوپودرهای آلومنینیم با اندازه متوسط ذرات تا  $50$  نانومتر، حدود  $500-530^{\circ}\text{C}$  بوده است. علت اینکه دمای شروع اکسیداسیون نانوپودر تهیه شده در پژوهش حاضر نسبت به نتایج سایر محققان تا حدی کمتر است، احتمالاً به توزیع وسیع اندازه ذرات نانوپودر برمی گردد. زیرا این گستردگی اندازه ذرات سبب شده تا ذرات با ابعاد بسیار ریز (کمتر از  $20$  نانومتر) در نمونه حضور داشته که طی افزایش دما در فاصله زمانی کوتاه تری اکسید شده و با آزاد شدن گرمای حاصل از اکسیداسیون این ذرات، احتراق سایر ذرات نیز تسهیل می شود. بنابراین نتیجه کلی حاصل شده دمای آغاز واکنش کمتر نانوپودر تهیه شده خواهد بود. افزون بر این ملاحظه می شود که دمای آغاز اکسیداسیون هر دو پودر مورد بررسی کمتر از نقطه ذوب آلومنینیم ( $660^{\circ}\text{C}$ ) است. این در حالی است که در موارد بسیار معدهودی مانند نتایج Iljin و همکارانش [14]، دمای آغاز اکسیداسیون مربوط به پودرهای میکرونی به مقدار  $820^{\circ}\text{C}$  و  $920^{\circ}\text{C}$  نیز گزارش شده است که بیشتر از نقطه ذوب آلومنینیم است. یعنی ذرات پس از ذوب اکسید می شوند. علت

پارامترها، حین اکسیداسیون غیر همدما تحت گرم کردن کنترل شده در هوا قابل تخمین است [14]. لذا آنالیز حرارتی نانوپودر و پودر میکرونی تحت شرایط یکسان آزمایش مورد توجه قرار گرفت. نتایج حاصل از آنالیز حرارتی روی نانوپودر و پودر میکرونی به ترتیب در شکل های (۵ و ۶) آورده شده است.



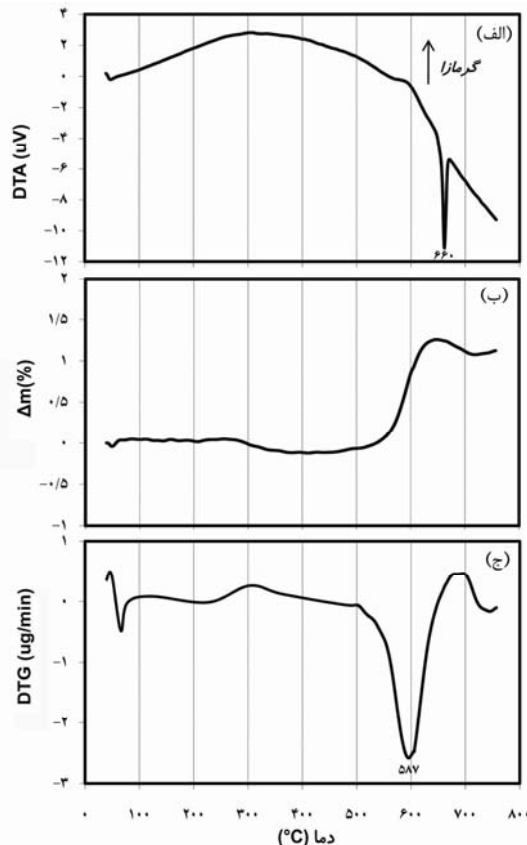
شکل ۵ نمودارهای آنالیز حرارتی مربوط به نانوپودر آلومنینیم  
الف) DTA، ب) TG و ج) DTG

اولین پارامتر قابل استخراج از این نتایج دمای آغاز اکسیداسیون پودرهای است. این واکنش به صورت پیکی گرمایزا در منحنی های DTA ملاحظه می شود. با توجه به اینکه استخراج دمای شروع از این منحنی ها ممکن است از دقت کافی برخوردار نباشد، دمای آغاز اکسیداسیون از منحنی TG و DTG تشخیص داده شده

کره کمترین نسبت سطح به حجم را دارد. لازم به ذکر است که آگلومراسیون نانوذرات سبب کاهش واکنش پذیری پودر آلومینیم در هوا می شود [16]. بنابراین علت دیگر مرتبط با واکنش پذیری بیشتر نانوپودر آلومینیم احتمالاً به ضخامت بیشتر لایه اکسیدی روی سطح نانوذرات نیز بر می گردد. زیرا لایه محافظ اکسیدی با نقطه ذوب بالا سبب کاهش میزان آگلومراسیون نانوذرات طی افزایش دما تا رسیدن به دمای احتراق می شود.

مطلوب حائز اهمیت دیگر در این نتایج گرمایی بیشتر حاصل از واکنش اکسیداسیون نانوپودر نسبت به پودر میکروني است. این موضوع از سطح زیر پیک گرمایی بیشتر مربوط به اکسیداسیون نانوپودر در منحنی DTA شکل ۵ (الف) نسبت به سطح زیر پیک گرمایی بسیار کوچک پودر میکروني در شکل ۶-(الف) برگرفته شده است. همچنین با توجه به اینکه سطح زیر هر یک از پیک های گرمایزا و گرمایی بیانگر سهم آلومینیم فلزی واکنش کرده در آن فرآیند است، ملاحظه می شود در نمونه نانوپودر عمده آلومینیم در واکنش گرمایی اکسیداسیون شرکت کرده در حالی که تنها بخش ناچیزی از آن در مرحله بعد طی واکنش گرمایگر ذوب شده است. اما در نتایج DTA مربوط به نمونه میکروني نتایج برعکس است. به نحوی که طی فرآیند اکسیداسیون در حالت جامد تنها مقدار ناچیزی از نمونه اکسید شده (سطح زیر پیک گرمایی کوچک) و عمده پودر در واکنش ذوب شرکت کرده است (سطح زیر پیک گرمایگر بزرگ). این موضوع نیز تأیید دیگری بر واکنش پذیری بالاتر نانوپودر آلومینیم تهیه شده در این پژوهش است. بنابراین علی رغم وجود درصد بالاتر آلومینیم فلزی در پودر میکروني در مقایسه با نانوپودر، واکنش پذیری نانوپودر بیشتر از پودر میکروني است. از این رو، درصد آلومینیم فلزی موجود در پودر نمی تواند معیاری صحیح در ارزیابی میزان واکنش پذیری آن باشد.

این مقادیر بالای دمای شروع اکسیداسیون به مورفولوژی ذرات و شکل کاملاً کروی آنها ارتباط داده شده است.



شکل ۶ نمودارهای آنالیز حرارتی مربوط به پودر میکروني آلومینیم (الف) DTA، (ب) TG و (ج) DTG

پارامتر دوم مربوط به ارزیابی واکنش پذیری یعنی دمای حداقل سرعت انجام فرآیند اکسیداسیون با توجه به منحنی های DTG (شکل های ۵ (ج) و ۶ (ج)) برای نانوپودر حدود  $528^{\circ}\text{C}$  و برای پودر میکروني حدود  $587^{\circ}\text{C}$  است. علت کمتر بودن دمای اکسیداسیون نانوپودر نسبت به پودر میکروني علاوه بر سطح بالاتر به سبب اندازه کمتر ذرات، به انحراف بیشتر شکل ذرات از حالت کروی در نانوپودر تهیه شده نسبت به پودر میکروني است. زیرا در بین شکل های هندسی

از آنجا که مقدار آلومینیم ذوب شده نسبت به مقدار اکسید شده قبل از ذوب بیشتر است، لذا این کاهش وزن مذاب نیز قابل توجه‌تر است.

نکته قابل توجه دیگر در منحنی‌های DTA به تفاوت نقطه ذوب آلومینیم در دو نوع پودر مربوط می‌شود. با توجه به شکل (۵ - الف) و (۶ - الف) نقطه ذوب نانوپودر و پودر میکرونی به ترتیب برابر  $655^{\circ}\text{C}$  و  $660^{\circ}\text{C}$  است. لذا همان‌طور که انتظار می‌رود، نانوپودر آلومینیم در دمای کمتری نسبت به پودر میکرونی ذوب می‌شود. این موضوع به افزایش شدید تعداد اتم‌های سطحی ذرات نانو‌متری مربوط می‌شود. در واقع کاهش نقطه ذوب با کاهش اندازه ذرات با معادله گیبس - تامسون (Gibbs-Thomson equation) قابل توجیه است [17].

در پایان بایستی مذکور شد که تنها دلیل افزایش واکنش‌پذیری نانوپودر آلومینیم نسبت به پودر میکرونی ناشی از افزایش نسبت سطح به حجم نیست. برای تأیید این مطلب شاید بتوان به ارتباط زیر استناد نمود. با توجه به اینکه سطح ویژه نانوپودر حدود ۴ برابر پودر میکرونی است، اما درصد افزایش وزن ناشی از اکسیداسیون در حالت جامد نانوذرات حدود ۳۴ برابر پودر میکرونی است (با توجه به اینکه درصد افزایش وزن ناشی از اکسیداسیون پودر میکرونی حدود ۱/۱ درصد است). لذا این واکنش‌پذیری بالاتر نانوپودر آلومینیم تنها با افزایش مساحت سطح ویژه قابل توجیه نیست.

بایستی خاطر نشان نمود که احتراق مواد فعال مانند پودر آلومینیم یک واکنش شیمیایی بسیار پیچیده است و متغیرهای بسیار زیادی روی این گونه فرآیندهای مؤثر هستند [16]. به منظور درک ارتباط بین پارامترهای ساختاری و واکنش‌پذیری بیشتر پودرهای بررسی مکانیزم تغییرات ذرات پودر با افزایش دما ضروری به نظر می‌رسد. به عنوان مثال استفاده از میکروسکوپ الکترونی عبوری به صورت درجا حین

البته علت احتمالی دیگر سطح کمتر پیک گرمایگر مربوط به نانوپودر نسبت به پودر میکرونی و به عبارتی گرمای ذوب کمتر نانوپودر، افزایش سطح انرژی جامد ناشی از حضور عیوب یا بین‌نظمی‌ها در ساختارهای نانو‌متری است [17].

علاوه بر این مقدار آلومینیم فعال موجود در نمونه (c) از طریق منحنی TG و با استفاده از رابطه (۳) قابل محاسبه است [12].

$$c(\%) = \frac{108}{96} \Delta m(\%) \quad (3)$$

که در آن  $\Delta m$  درصد افزایش وزن در منحنی TG است. لذا با توجه به درصد افزایش وزن در مرحله اکسیداسیون نانوپودر تا حدود ۳۷ درصد، مقدار ۵ حدود ۴۲ درصد به دست می‌آید. البته تفاوت در مقدار آلومینیم موجود در نتایج حاصل از EDS و TG به زمان نگهداری طولانی (حدود چند ماه) محصول در آزمایشگاه مربوط بوده که طی این مدت احتمالاً ضخامت لایه اکسید سطحی نانوذرات بیشتر شده است. با وجود این، بخشی از آلومینیم فلزی در نانوپودر از مرحله اکسیداسیون باقی مانده و پس از ذوب اکسید می‌شود. علت افزایش وزن مرحله دوم در منحنی TG نانوپودر (شکل ۵ (ب)) در دماهای بیش از  $700^{\circ}\text{C}$  نیز به همین موضوع مربوط است.

با این حال پودر میکرونی رفتاری عجیب در دماهای بالاتر از ذوب نشان می‌دهد. همان‌طور که در شکل (۶ - ب) مشاهده می‌شود، پس از ذوب آلومینیم با افزایش دما نه تنها وزن افزایش نیافتد بلکه کاهش وزن در نمونه اتفاق افتد. این در حالی است که با توجه به درصد آلومینیم ذوب شده بیشتر در این نمونه نسبت به نانوپودر، افزایش وزن قابل توجهی به سبب اکسیداسیون مذاب انتظار می‌رود. از دقت آزمایش نیز با تکرار آنالیز اطمینان حاصل شده است. دلیل این رفتار احتمالاً به خروج گازهای حل شده در آلومینیم میکرونی پس از ذوب نسبت داده می‌شود که

میکرونی آلمینیم بودند. بنابراین به طور کلی و با توجه به مقایسه این مقادیر با نتایج سایر پژوهشگران نانوپودر آلمینیم تولید شده در این پژوهش دارای واکنش پذیری مطلوب و قابل قیاس با محصولات خارجی است. همچنین عوامل مؤثر بر واکنش پذیری بالای نانوپودر آلمینیم افزون بر نسبت سطح به حجم بالاتر آن شامل آکلومراسیون کمتر نانوذرات به سبب حضور لایه اکسیدی چند نانومتری روی آن، انحراف شکل ذرات از حالت کامل کروی و گستره وسیع اندازه ذرات به ویژه حضور ذرات با ابعاد کمتر از ۲۰ نانومتر است. علاوه بر این کاهش نقطه ذوب نانوپودر آلمینیم نسبت به پودر میکرونی به افزایش شدید تعداد اتم‌های سطحی مربوط است. همچنین گرمای ذوب نانوپودر کمتر از پودر میکرونی بوده که با حضور عیوب بیشتر در آن قابل تفسیر است.

گرمايش نمونه می‌تواند راه‌كاری مناسب باشد که البته جزء محدودیت امكانات محسوب می‌گردد.

### نتیجه‌گیری

در این پژوهش خواص نانوپودر آلمینیم تهیه شده به روش تبخیر - چگالش بر اساس نگرش بر آن در کاربردهای احتراقی مورد ارزیابی قرار گرفته است. نتایج TEM و EDS حاکی از اندازه متوسط ذرات ۴۵ نانومتری و حضور  $83\%_{\text{v/v}}$  درصد آلمینیم فلزی و فعال در محصول به دست آمده از فرآیند بود. همچنین بر اساس آنالیز BET مساحت سطح ویژه نیز  $26.227 \text{ m}^2 \text{ g}^{-1}$  بوده و قطر معادل BET حدود ۸۵ نانومتر محاسبه شد.

دمای شروع اکسیداسیون، دمای سرعت حداقل اکسیداسیون و دمای ذوب نانوپودر آلمینیم تهیه شده به ترتیب برابر با  $490^\circ\text{C}$ ,  $528^\circ\text{C}$  و  $655^\circ\text{C}$  به دست آمد که این مقادیر کمتر از مقادیر مربوط به پودر

### مراجع

1. Gleiter, H., "Nanocrystalline materials", *Progress in Materials Science*, 33, pp.223-315, (1989).
2. Jung, J.H., Oh, H.C., Noh , H.S., Jib, J.H. and Kim, S.S., "Metal nanoparticle generation using a small ceramic heater with a local heating area", *Aerosol Science*, 37, pp.1662-1670, (2006).
3. Kearns, M., "Development and applications of ultrafine aluminum powders", *Materials Science and Engineering A*, 375-377, pp.120-126, (2004).
4. Champion, Y. and Bigot, J., "Synthesis and structural analysis of aluminum nanocrystalline powders", *Nanostructured Materials*, 10, pp.1097-1110, (1998).
5. Siegel, R. W., "Cluster-assembled nanophase materials", *Annual Review of Materials Science*, 21, pp.559-578, (1991).
6. Panda, S. and Pratsinis, S. E. "Modeling the synthesis of aluminum particles by evaporation-condensation in an aerosol flow reactor", *Nanostructured Materials*, 5, pp.755-767, (1995).
7. Aristizabal, F., Munz, R.J. and Berk, D., "Modeling of the production of ultra fine aluminum particles in rapid quenching turbulent flow", *Aerosol Science*, 37, pp.162-186, (2006).
8. Mench, M. M., Kuo, K. K., Yeh, C. L. and Lu, Y. C., "Comparison of Thermal Behavior of Regular and Ultra-fine Aluminum Powders (Alex) Made from Plasma Explosion Process", *Combustion Science Technology*, 135, pp.269-292, (1998).

9. Ermoline, A., Schoenitz, M., Dreizin, E. and Yao, N., "Production of carbon-coated aluminum nanopowders in pulsed microarc discharge", *Nanotechnology*, 13, pp.638-643, (2002).
10. Hosseini, S.H., Sheibani, S. and Valefi, Z., "Synthesis of aluminum nanopowder through evaporation-condensation method", *Proceedings of Iran International Aluminum Conference (IIAC2009)*, Tehran, I.R. Iran, April 22-23, pp.449-452, (2009).
11. Ataie, A., Sheibani, S., Khayati, G. R. and Asadi-Kohanjani, S., "Mechanical Alloying and Mechanical Activation; A technology for processing of nanomaterials" (In Persian), *Jahad-e Daneshgahi Publication*, Teharn, Iran, (2006).
12. Sun, J., Pantoya, M. L. and Simon, S. L., "Dependence of size and size distribution on reactivity of aluminum nanoparticles in reactions with oxygen and MoO<sub>3</sub>", *Thermochimica Acta*, 444, pp.117-127, (2006).
13. Kwon, Y. S., Jung, Y. H., Yavorovsky, N. A., Illyn, A. P. and Kim, J. S., "Ultra-fine powder by wire explosion method", *Scripta Materialia*, 44, pp.2247-2251, (2001).
14. Illyn, A., Gromov, A., An, V., Faubert, F., de Izarra, Ch., Espagnacq, A. and Brunet, L., "Characterization of aluminum powders I. Parameters of Reactivity of Aluminum Powders", *Propellant Explosive Pyrotechnology*, 27, pp.361-364, (2002).
15. Brown, M. E., "Introduction to thermal analysis; techniques and applications", London, Chapman and Hall, (1998).
16. Rufino, B., Boulch, F., Coulet, M.-V., Lacroix, G. and Denoyel, R., "Influence of particles size on thermal properties of aluminum powder", *Acta Materialia*, 55, pp.2815-2827, (2007).
17. Sun, J. and Simon, S.L., "The melting behavior of aluminum nanoparticles", *Thermochimica Acta*, 463, pp.32-40, (2007)